

1a - Jihočeský kraj, Hosín

I	Číslo svahové deformace	Doposud neregistrována
II	Číslo mapového listu	22-44-23
III	Okres, k.ú.	České Budějovice, Hosín
IV	Lokalizace GPS	S-JTSK (X; Y): -1159475; -755578
V	Autor a instituce	Michal Poňavič, ČGS
VI	Datum rekognoskace	18. června 2013
VII	Svahová deformace	Samostatná
VIII	Druh svahové deformace	Sesuv
IX	Délka (m)	3
X	Šířka (m)	10
XI	Plocha (m ²)	
XII	Svahová deformace dle hloubky porušení / postižení	Mělká
XIII	Sklon svahu	45%
XIV	Aktivní faktory vzniku	Vydatné srážky a nasycení hlinitých sedimentů vodou.
XV	Složení akumulace /litologie/	Píščito–hlinitý až hlinito–píščitý kvartérní sediment.
XVI	Fáze vývoje - prognóza	Rozvinutá
XVII	Stupeň aktivity	Aktivní
XVIII	Sanační opatření	Sanační opatření nebyla provedena.
XIX	Využití území	Zahrada
XX	Ohrožené objekty	Parcela č. 864
XXI	Stupeň nebezpečí:	II. – nelze vyloučit další sesouvání hornin.
XXII	Poznámky, doporučení	
XXIII	Fotodokumentace	Fotografie č. 1-celková situace.
XXIV	Rešerše, literatura	Starší záznamy neexistují



Foto1: dílčí sesuv č. 1a, celková situace

1b - Jihočeský kraj, Hosín

I	Číslo svahové deformace	Doposud neregistrována
II	Číslo mapového listu	22-44-23
III	Okres, k.ú.	České Budějovice, Hosín
IV	Lokalizace GPS	S-JTSK (X; Y): -1159465; -755582
V	Autor a instituce	Michal Poňavič, ČGS
VI	Datum rekognoskace	18. června 2013
VII	Svahová deformace	Samostatná
VIII	Druh svahové deformace	Sesuv
IX	Délka (m)	2
X	Šířka (m)	4,5
XI	Plocha (m ²)	
XII	Svahová deformace dle hloubky porušení / postižení	Mělká
XIII	Sklon svahu	45%
XIV	Aktivní faktory vzniku	Vydatné srážky a nasycení hlinitých sedimentů vodou.
XV	Složení akumulace /litologie/	Písčito–hlinitý až hlinito–písčitý kvartérní sediment.
XVI	Fáze vývoje - prognóza	Rozvinutá
XVII	Stupeň aktivity	Aktivní
XVIII	Sanační opatření	Sanační opatření nebyla provedena.
XIX	Využití území	Zahrada
XX	Ohrožené objekty	Parcela č. 864
XXI	Stupeň nebezpečí:	II.–nelze vyloučit další sesouvání hornin.
XXII	Poznámky, doporučení	
XXIII	Fotodokumentace	Fotografie č. 2-celková situace.
XXIV	Rešerše, literatura	Starší záznamy neexistují



Foto2: dílčí sesuv č. 1b, celková situace

1c - Jihočeský kraj, Hosín

I	Číslo svahové deformace	Doposud neregistrována
II	Číslo mapového listu	22-44-23
III	Okres, k.ú.	České Budějovice, Hosín
IV	Lokalizace GPS	S-JTSK (X; Y): -1159477; -755583
V	Autor a instituce	Michal Poňavič, ČGS
VI	Datum rekognoskace	18. června 2013
VII	Svahová deformace	Samostatná
VIII	Druh svahové deformace	Sesuv
IX	Délka (m)	2,5
X	Šířka (m)	4
XI	Plocha (m ²)	
XII	Svahová deformace dle hloubky porušení / postižení	Mělká
XIII	Sklon svahu	45%
XIV	Aktivní faktory vzniku	Vydatné srážky a nasycení hlinitých sedimentů vodou.
XV	Složení akumulace /litologie/	Písčito–hlinitý až hlinito–písčitý kvartérní sediment.
XVI	Fáze vývoje - prognóza	Rozvinutá
XVII	Stupeň aktivity	Aktivní
XVIII	Sanační opatření	Sanační opatření nebyla provedena.
XIX	Využití území	Zahrada
XX	Ohrožené objekty	Parcely č. 864, 862
XXI	Stupeň nebezpečí:	II.–nelze vyloučit další sesouvání hornin.
XXII	Poznámky, doporučení	
XXIII	Fotodokumentace	Fotografie č. 3-celková situace; fotografie č. 4-poškození oplocení mezi p. č. 864 a 862.
XXIV	Rešerše, literatura	Starší záznamy neexistují



Foto3: dílčí sesuv č. 1c, celková situace



Foto 4: dílčí sesuv č. 1c, poškození oplocení mezi p.č. 864 a 862, celková situace

2a - Jihočeský kraj, Koloděje nad Lužnicí

I	Číslo svahové deformace	Doposud neregistrována
II	Číslo mapového listu	22-42-17
III	Okres, k.ú.	České Budějovice, Koloděje nad Lužnicí
IV	Lokalizace GPS	S-JTSK (X; Y): -1134866; -755783
V	Autor a instituce	Michal Poňavič, ČGS
VI	Datum rekognoskace	18. června 2013
VII	Svahová deformace	Samostatná
VIII	Druh svahové deformace	Sesuv
IX	Délka (m)	2,0
X	Šířka (m)	3,5
XI	Plocha (m ²)	
XII	Svahová deformace dle hloubky porušení / postižení	Mělká
XIII	Sklon svahu	45%
XIV	Aktivní faktory vzniku	(1) změna geometrie svahu vodní erozí; (2) antropogenní činnost
XV	Složení akumulace /litologie/	Svahové hlinitokamenité sedimenty s četnými úlomky pararul.
XVI	Fáze vývoje - prognóza	Rozvinutá, avšak opakované sesouvání horniny nevyklučují, viz. XXI.
XVII	Stupeň aktivity	Aktivní
XVIII	Sanační opatření	Sanační opatření nebyla provedena.
XIX	Využití území	Trvalý travní porost
XX	Ohrožené objekty	Budova č.p. 18 na parcele 47/1.
XXI	Stupeň nebezpečí:	III. - aktivity v podobě neodborného odklizení hornin při patě svahu mohou vést k opakovanému sesouvání hornin.
XXII	Poznámky, doporučení	Při rekonstrukci budovy (oprava fasády a provedení nadzemní izolace na j. straně budovy) byl v délce cca 3 m uměle zvýšen sklon protilehlého svahu (podkopání). Po vydatných deštích v květnu-červnu 2013 následovalo sesutí cca 5 m ³ horniny.
XXIII	Fotodokumentace	přiložena
XXIV	Rešerše, literatura	Starší záznamy neexistují



Foto 5: svah v těsném sousedství budovy č. p. 18, celková situace

2b - Jihočeský kraj, Koloděje nad Lužnicí

I	Číslo svahové deformace	Doposud neregistrována
II	Číslo mapového listu	22-42-17
III	Okres, k.ú.	České Budějovice, Koloděje nad Lužnicí
IV	Lokalizace GPS	S-JTSK (X; Y): -1134864; -755724
V	Autor a instituce	Michal Poňavič, ČGS
VI	Datum rekognoskace	18. června 2013
VII	Svahová deformace	Složená
VIII	Druh svahové deformace	Formy rozvolnění-vodní erozí, propad
IX	Délka (m)	5
X	Šířka (m)	3,5
XI	Plocha (m ²)	
XII	Svahová deformace dle hloubky porušení / postižení	Mělká
XIII	Sklon svahu	45%
XIV	Aktivní faktory vzniku	Vodní eroze tělesa násypu
XV	Složení akumulace /litologie/	Materiál tělesa komunikace (technické zeminy, upravený drčený kámen, upravený štěrkopísek).
XVI	Fáze vývoje - prognóza	Rozvinutá
XVII	Stupeň aktivity	Aktivní
XVIII	Sanační opatření	Sanační opatření nebyla provedena.
XIX	Využití území	Trvalý travní porost
XX	Ohrožené objekty	Komunikace III/10564
XXI	Stupeň nebezpečí:	I.–nelze vyloučit existenci dutin přímo pod vozovkou.
XXII	Poznámky, doporučení	Při vydatných srážkách začátkem června 2013 došlo v tělese násypu k vytvoření kruhového propadu o průměru 3 m a hloubce cca 1,5 m. Propad indikuje přítomnost dutin v tělese násypu.
XXIII	Fotodokumentace	přiložena
XXIV	Rešerše, literatura	Starší záznamy neexistují



Foto 6: komunikace III/10564, celková situace, vlevo trativod, vpravo svodidla nad vysokým násypem



Foto 7: detail propadliny násypu komunikace III/10564, patrné obnažení silničního tělesa



Foto 8: detail trativodu komunikace III/10564

3 - Jihočeský kraj, Hněvkovice u Týna nad Vltavou

I	Číslo svahové deformace	Doposud neregistrována
II	Číslo mapového listu	22-42-22
III	Okres, k.ú.	České Budějovice, Hněvkovice u Týna nad Vltavou
IV	Lokalizace GPS	S-JTSK (X; Y): -1141927; -754883
V	Autor a instituce	Michal Poňavič, ČGS
VI	Datum rekognoskace	18. června 2013
VII	Svahová deformace	Samostatná
VIII	Druh svahové deformace	Formy rozvolnění
IX	Délka (m)	5
X	Šířka (m)	8
XI	Plocha (m ²)	
XII	Svahová deformace dle hloubky porušení / postižení	Mělká
XIII	Sklon svahu	<75 °
XIV	Aktivní faktory vzniku	Navětrání hornin
XV	Složení akumulace /litologie/	Sillimanit biotitické pararuly
XVI	Fáze vývoje - prognóza	Potenciální
XVII	Stupeň aktivity	Aktivní
XVIII	Sanační opatření	Sanační opatření nebyla provedena.
XIX	Využití území	p.č. st. 233 zastavěná plocha a nádvoří a p. č. 3002/38 sportoviště a rekreační plocha
XX	Ohrožené objekty	
XXI	Stupeň nebezpečí:	II. - za extrémně nepříznivých podmínek může dojít k odlomení a zřícení části skalního výchozu.
XXII	Poznámky, doporučení	
XXIII	Fotodokumentace	přiložena
XXIV	Rešerše, literatura	Starší záznamy neexistují



Foto 9: celková situace

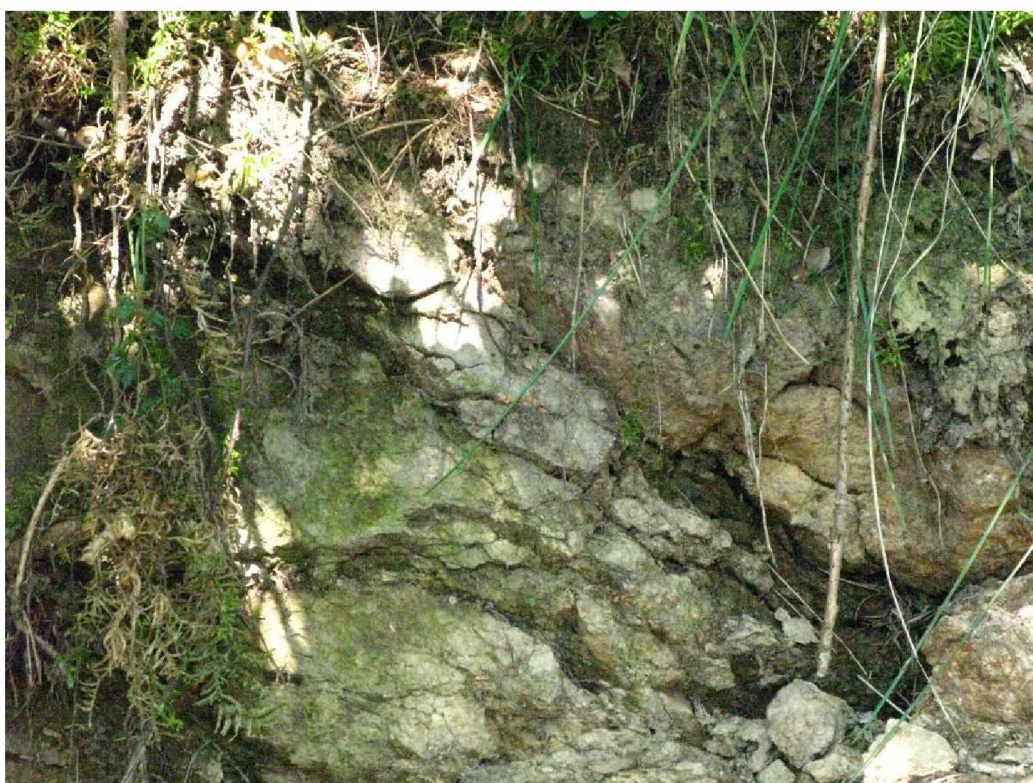


Foto 10: detail výchozu

4 - Jihočeský kraj, Klokoty

I	Číslo svahové deformace	Nebyla dosud registrována.
II	Číslo mapového listu	23-13-16
III	Katastrální území	Klokoty
IV	Lokalizace GPS	49°24'42.8"S, 14°38'01.0"V
V	Autor a instituce	RNDr. B. Dudíková Schulmannová, RNDr. M. Poňavič
VI	Datum rekognoskace	17.6.2013
VII	Svahová deformace	samostatná
VIII	Druh svahové deformace	složená (proud a sesuv)
IX	Délka (m)	35
X	Šířka (m)	8-10
XI	Plocha (m²)	1000-1100
XII	Svahová deformace dle hloubky porušení / postižení	mělká
XIII	Sklon svahu	45°
XIV	Aktivní faktory vzniku	Srážky a nasycení vodou.
XV	Složení akumulace /litologie/	Svahové hlinitokamenité sedimenty, bloky táboorského syenitu, aplity.
XVI	Fáze vývoje - prognóza	Rozvinutá.
XVII	Stupeň aktivity	aktivní
XVIII	Sanační opatření	nebyla provedena
XIX	Využití území	les
XX	Ohrožené objekty	Místní komunikace.
XXI	Stupeň nebezpečí:	II.
XXII	Poznámky, doporučení	IG průzkum – projekt sanace svahu
XXIII	Fotodokumentace	přiložena



Foto 11: Sesuv postihl i místní komunikaci, kde byl materiál už odklizen a silnice zprůjezdněna. Vlevo je patrné poškození lavičky pro turisty

5 - Jihočeský kraj, Tábor

I	Číslo svahové deformace	Nebyla dosud registrována.
II	Číslo mapového listu	23-13-16
III	Katastrální území	Tábor
IV	Lokalizace GPS	49°24'49.4"S, 14°38'49.3"V
V	Autor a instituce	RNDr. B. Dudíková Schulmannová, RNDr. M. Poňavič
VI	Datum rekognoskace	17.6.2013
VII	Svahová deformace	samostatná
VIII	Druh svahové deformace	složená (proud a sesuv)
IX	Délka (m)	40
X	Šířka (m)	15
XI	Plocha (m²)	1100-1200
XII	Svahová deformace dle hloubky porušení / postižení	mělká
XIII	Sklon svahu	45°
XIV	Aktivní faktory vzniku	Srážky a nasycení vodou.
XV	Složení akumulace /litologie/	Svahové hlinitokamenité sedimenty, bloky tábořského syenitu, aplity.
XVI	Fáze vývoje - prognóza	rozvinutá
XVII	Stupeň aktivity	aktivní
XVIII	Sanační opatření	nebyla provedena
XIX	Využití území	les
XX	Ohrožené objekty	Místní komunikace, v horní části sesuvu byly obnaženy základy obvodového zdiva kláštera.
XXI	Stupeň nebezpečí:	II.
XXII	Poznámky, doporučení	IG průzkum – projekt sanace svahu a projekt odvodnění území nad sesuvem.
XXIII	Fotodokumentace	přiložena



Foto 12: Sesuv – pohled od silnice podél řeky Lužnice



Foto 13: Horní část sesuvu těsně pod zdí kláštera

1 - Jihomoravský kraj, Nikolčice

I	Číslo svahové deformace	nebyla dosud zanesena do registru svahových nestabilit ČGS
II	Číslo mapového listu	34-21-02
III	Katastrální území	Nikolčice
IV	Lokalizace GPS	48°59'43.5" , 16°45'03.4"
V	Autor a instituce	Novotný Roman, Česká geologická služba, Leitnerova 22, Brno
VI	Datum rekognoskace	6.5.2011, 26.6.2013
VII	Svahová deformace	Samostatná
VIII	Druh svahové deformace	Sesuv - frontální
IX	Délka (m)	20
X	Šířka (m)	45
XI	Plocha (m²)	
XII	Svahová deformace dle hloubky porušení / postižení	mělká - do 2m
XIII	Sklon svahu	12-14°
XIV	Aktivní faktory vzniku	Přesycení kvartérního pokryvu v důsledku nadměrných srážek v roce 2010 a 2013, zařiznutím občasného vodního toku do čela uklidněné svahové deformace.
XV	Složení akumulace /litologie/	V zájmové území vystupují spraše a sprašové hlíny. V podloží vystupují jílovce až jíly němečického souvrství a úlomky dynowských slínovců menilitového souvrství ždánické jednotky.
XVI	Fáze vývoje - prognóza	Rozvinutá. V případě nezahájení sanačních bude docházet k opakovanému poškozování vozovky, k porušení rozvodu elektrické energie, k přetržení hlavního vodovodního řádu a k porušení rozvodu plynu.
XVII	Stupeň aktivity	Aktivní
XVIII	Sanační opatření	Zatím nebyly provedeny žádné sanační opatření.
XIX	Využití území	Trvalý travní porost. Zpevněná komunikace, rozvod elektrické energie, vodovodní řád, rozvod plynu.
XX	Ohrožené objekty	Tento stav přímo ohrožuje a trvale poškozují zpevněnou komunikaci, rozvod elektrické energie, vodovodní řád, rozvod plynu a může ohrozit život či zdraví občanů.
XXI	Stupeň nebezpečí:	III. kategorie – vysoké riziko
XXII	Poznámky, doporučení	Doporučujeme stabilizaci svahu dvojicí ocelových štětovic LARSEN III (L8, L9) hrotem proti svahu s možností volného odtoku vody (šířka dvojce 85-90cm při úhlu 45° s mezerou 85-90cm). L8 použít na okrajových stranách. L9 ve střední části. Případné přečnívání (v závislosti na morfologii terénu) se může upálit. Zámky do zámek, vibroberanit. Dále štětovnice, ve zhlaví, spojit železobetonovým trámcem - opěrnou zítkou (výška betonového trámce 60, 90, 120cm).
XXIII	Fotodokumentace	přiložena
XXIV	Rešerše, literatura	Stanovisko ČGS SOG-441/233/2011



Foto 14: Celkový pohled na aktivní část sesuvného území



Foto 15: Pohled na sz. část odlučné hrany aktivního sesuvu v Nikolčicích

2 - Jihomoravský kraj, Lubnice

I	Číslo svahové deformace	1
II	Číslo mapového listu	33-21-15
III	Katastrální území	Lubnice
IV	Lokalizace GPS	48°56'15.3507464"N 15° 36' 55.9509659"E
V	Autor a instituce	Mgr. Aleš Havlín, PhD. Česká geologická služba
VI	Datum rekognoskace	14.6. 2013
VII	Svahová deformace	- Samostatná
VIII	Druh svahové deformace	Klasifikace tělesa deformace dle mechanismu pohybu: - Forma odsedání a řícení
IX	Délka (m)	8
X	Šířka (m)	6
XI	Plocha (m ²)	-
XII	Svahová deformace dle hloubky porušení / postižení	Na základě odhadnuté svislé vzdálenosti mezi povrchem a bází S.D.: - mělká (1-5 m)
XIII	Sklon svahu	Více jak 45°
XIV	Aktivní faktory vzniku	- srážky a nasycení vodou
XV	Složení akumulace /litologie/	grafitické pararuly
XVI	Fáze vývoje - prognóza	- rozvinutá
XVII	Stupeň aktivity	- Aktivní (k pohybu došlo během posledního roku - pěti let od rekognoskace)
XVIII	Sanační opatření	-
XIV	Využití území	Hospodářský objekt - stodola

XX	Ohrožené objekty	Hospodářský objekt - stodola
XXI	Stupeň nebezpečí:	vysoký stupeň. dává stop jakýmkoli aktivitám v okolí svahové deformace a značí vysoký stupeň nebezpečí – III.
XXII	Poznámky, doporučení	<p>Skalní výchoz o rozměrech délka cca 8 m a výšce cca 6 m se nachází nad hospodářskou budovou. Po zvýšených srážkových úhrnech koncem měsíce května a počátkem měsíce června došlo k uvolnění horninového bloku z aktivní části výchozu a poškození střechy hospodářské budovy. Velikost aktivní části výchozu je cca šířka 6 m a výška 4 m. Výchoz je podle geologické mapy 1 : 50 000, list Slavonice tvořen grafitickými pararulami. Tyto pararuly jsou silně tektonicky porušeny několika na sebe kolmými systémy puklin. Po odlučné ploše o sklonu cca 45° ukloněné směre k západu došlo k uvolnění skalních bloků. Největší vypadený blok, který se zastavil o vzrostlý strom a nenapáchal tak větší škody kromě poškození výše uvedeného stromu. Rozměr tohoto bloku je cca 0,7 m x 0,7 m 0,7 m. Velikost ostatních bloku se pohybuje převážně v intervalu 0,3 – 0,5 m, popř. drobnější suť. K pádu uvolněné horniny došlo nepochybně v důsledku zvýšeného srážkového úhrnu koncem měsíce května a počátkem měsíce června. Vzhledem k výraznému tektonickému porušení a přítomnosti čerstvě otevřených puklin, lze očekávat obnovení opadávání skalních bloků a ohrožení prostoru po skalním výchozem. K aktivizaci může dojít především v důsledku srážek popř. tání sněhové pokrývky a zamrzání vody v otevřených puklinách. Případný další pád horninových bloků ohrožuje životy, zdraví a majetek osob pohybujících se v prostoru pod skalním výchozem. Pro prevenci uvolňování skalních bloků nutno odstranit rozvolněnou horninu a zabezpečit prostor proti vypadávání dalších bloků. Řešením je zpevnění skalního výchozu ocelovou sítí, nebo výstavba bariéry tak, aby došlo k možnosti pádu kamenných bloků do prostoru pod výchozem.</p>
XXIII	Fotodokumentace	příložena
XXIII	Rešerše, literatura	-

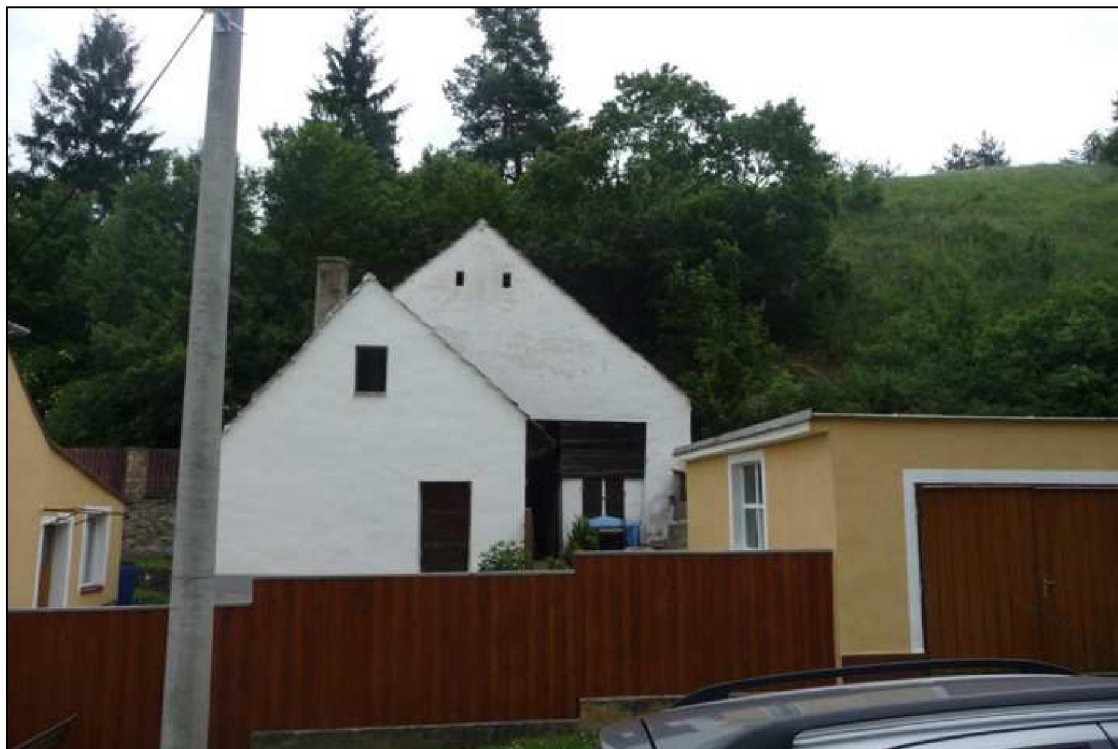


Foto 16: Celkový pohled na zájmový prostor



Foto 17: Detail skalního výchozu nad budovou

3 - Jihomoravský kraj, Bošovice

I	Číslo svahové deformace	-
II	Číslo mapového listu	24-43-23
III	Katastrální území	Bošovice
IV	Lokalizace GPS	[49°03.449;16°50.193] ->[-1177739.01; -583198.30]
V	Autor a instituce	Mgr. Aleš Havlín, PhD., ČGS
VI	Datum rekognoskace	6/2013
VII	Svahová deformace	- Samostatná
VIII	Druh svahové deformace	Klasifikace tělesa deformace dle mechanismu pohybu: - Forma odsedání a řícení
IX	Délka (m)	6
X	Šířka (m)	30
XI	Plocha (m ²)	-
XII	Svahová deformace dle hloubky porušení / postižení	Na základě odhadnuté svislé vzdálenosti mezi povrchem aází S.D.: - mělká (1-5 m)
XIII	Sklon svahu	Průměrný sklon původního neporušeného svahu
XIV	Aktivní faktory vzniku	Za aktivní faktory vzniku jsou považovány ty, které spustí vznik svahového pohybu, jsou přímou příčinou - tzv. „trigger“: - srážky a nasycení vodou - antropogenní činnost
XV	Složení akumulace /litologie/	drobně až středně rytmický flyš ždánicko-hustopečského souvrství
XVI	Fáze vývoje - prognóza	- rozvinutá
XVII	Stupeň aktivity	- Aktivní (k pohybu došlo během posledního roku - pěti let od rekognoskace)
XVIII	Sanační opatření	-
XIX	Využití území	zástavba
XX	Ohrožené objekty	Rodinný dům
XXI	Stupeň nebezpečí	vysoký stupeň nebezpečí - III.
XXII	Poznámky, doporučení	Skalní zářez o délce cca 30 m a výšce cca 6 m se nachází za obývaným rodinným domem. Po zvýšených srážkových úhrnech koncem měsíce května a počátkem měsíce června došlo k uvolnění pískovcového bloku z aktivní části výchozu a ohrožení obývaného rodinného domu a prostoru za ním. Výchoz je podle geologické mapy 1 : 50 000 list Šlapanice je tvořen drobně až středně rytmickým flyšem ždánicko-hustopečského souvrství. Jedná se o střídání pískovců a jílovců s převahou pískovců. Pískovce jsou silně tektonicky porušeny několika na sebe kolnými systémy puklin. Jílovce jsou destičkovitě rozpadavé, šedé. Sklon vrstev je cca 35° a jsou ukloněné směrem k jihovýchodu. Ve svrchní části ve středu zářezu došlo k uvolnění skalního bloku. Vypadlý blok se zastavil o rodinný dům. Rozměr tohoto bloku je cca 1,0 m x 1,2 m 0,5 m. Velikost ostatních bloků se pohybuje převážně v intervalu 0,3 – 0,5 m, popř. se jedná o drobnější suť. K pádu uvolněného pískovcového bloku došlo nepochybně v důsledku zvýšeného

		<p>srážkového úhrnu koncem měsíce května a počátkem měsíce června. Vzhledem k výraznému tektonickému porušení a přítomnosti čerstvě otevřených puklin, lze očekávat obnovení opadávání skalních bloků a ohrožení prostoru po skalním zářezem. K aktivizaci může dojít především v důsledku srážek popř. tání sněhové pokrývky a zamrznání vody v otevřených puklinách, ale i „náhodným uvolněním“. Případný další pád horninových bloků ohrožuje životy, zdraví a majetek osob pohybujících se v prostoru pod skalním výchozem.</p> <p>Doporučení Pro prevenci uvolňování skalních bloků nutno odstranit rozvolněnou horninu a zabezpečit prostor proti vypadávání dalších bloků. Možným řešením je výstavba bariéry tak, aby nedošlo k pádu kamenných bloků do prostoru za rodinným domem a do dvorního traktu domu.</p>
XXIII	Fotodokumentace	přiložena
XXIV	Rešerše, literatura	-



Foto 18: Střední část zářezu za domem



Foto 19: Spadený pískovcový blok

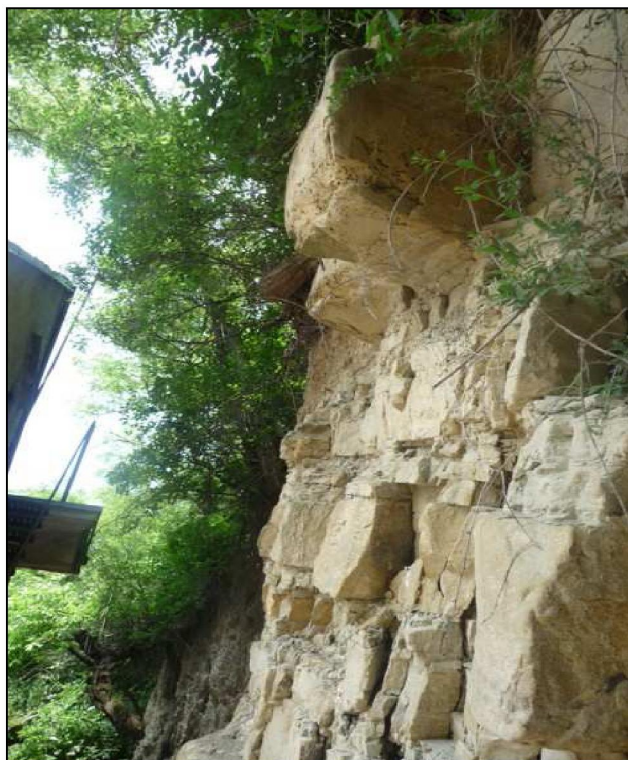


Foto 20: Pukliny v horninovém masivu

4 - Jihomoravský kraj, Ořechov

I	Číslo svahové deformace	-
II	Číslo mapového listu	24-34-13
III	Katastrální území	Ořechov
IV	Lokalizace GPS	-607 910,240 -1 170 164,269
V	Autor a instituce	Mgr. Aleš Havlín, PhD., ČGS
VI	Datum rekognoskace	6/2013
VII	Svahová deformace	- Složená
VIII	Druh svahové deformace	Klasifikace tělesa deformace dle mechanismu pohybu: - Sesuv
IX	Délka (m)	580
X	Šířka (m)	170
XI	Plocha (m²)	-
XII	Svahová deformace dle hloubky porušení / postižení	Na základě odhadnuté svislé vzdálenosti mezi povrchem a bází S.D.: - mělká (1-5 m)
XIII	Sklon svahu	-
XIV	Aktivní faktory vzniku	Za aktivní faktory vzniku jsou považovány ty, které spustí vznik svahového pohybu, jsou přímou příčinou - tzv. „trigger“: - srážky a nasycení vodou - změna geometrie svahu vodní erozí
XV	Složení akumulace /litologie/	Spraš, sprašová hlína
XVI	Fáze vývoje - prognóza	Dle kinematiky dané S.D. lze odhadnout, zda se nachází ve fázi pohybu: - rozvinutá
XVII	Stupeň aktivity	Podle stupně aktivity lze rozlišit svahové deformace: - Aktivní (k pohybu došlo během posledního roku - pěti let od rekognoskace)
XVIII	Sanační opatření	-
XIX	Využití území	les – křoví (houští), pole
XX	Ohrožené objekty	-
XXI	Stupeň nebezpečí	II.
XXII	Poznámky, doporučení	Dne 21. června 2013 byla provedena Mgr. Alešem Havlínem, PhD., terénní rekognoskace území souboru erozních rýh na katastru obce Ořechov, místní trať Velhous, cca 820 m jv. od hřbitovní kaple v Silůvkách. Jedná se o několik menších sesuvů. Jedná se o soustavu erozních rýh, hloubka rýh dosahuje až 20 m. Stěny erozních rýh jsou převážně kolmé. Délka zájmového území je 580 m a šířka je 170 m. Přesný rozsah postiženého území bude možné přesně vymežit až období vegetačního klidu. Zájmové území je podle geologické mapy 1 : 50 000 list

		<p>Ivančice sprašemi a sprašovými hlínami. Ke vzniku svahové nestability došlo nepochybně v důsledku zvýšeného srážkového úhrnu koncem měsíce května a počátkem měsíce června, kdy došlo vlivem erozního působení vody ke snížení stability svahu. Případné další rozšiřování zátrhů ohrožuje nejen zemědělskou půdu, ale i pracovníky obhospodařující tyto pozemky.</p> <p>Doporučení</p> <p>Je třeba dbát zvýšené pozornosti při obdělávání zemědělských pozemků, neboť horní okraj svahové deformace zasahuje do pole a její okraje jsou nestabilní a hrozí pád zemědělské techniky do strže. S jistotou lze konstatovat, že dojde k dalšímu rozšíření svahové deformace směrem do pole. V době rekognoskace byla lokalita silně zarostlá vegetací a v podstatě neprůchodná detailní mapování bude nutno provést v období vegetačního klidu.</p>
XXIII	Fotodokumentace	přiložena
XXIV	Rešerše, literatura	<p>Databázový záznam Výzkumného ústavu meliorací a ochrany půdy, v.v.i., Oddělení půdní služba, Laboratoř SOWAC GIS Praha</p> <p>http://80.188.198.212/mapserv/monitor/udalost_detail.php?gid=250</p>



Foto 21: Celkový charakter zájmového území



Foto 22: Odlučná část sesuvu



Foto 23: Odlučná hrana zasahuje na okraj pole

5 - Jihomoravský kraj, Račice

I	Číslo svahové deformace	-
II	Číslo mapového listu	24-41-13
III	Katastrální území	Račice
IV	Lokalizace GPS	[49°16.599; 16°51.695] ->[-1153690.58; -578840.33]
V	Autor a instituce	Mgr. Aleš Havlín, PhD., ČGS
VI	Datum rekognoskace	6/2013
VII	Svahová deformace	- Samostatná
VIII	Druh svahové deformace	- Sesuv
IX	Délka (m)	20
X	Šířka (m)	20
XI	Plocha (m ²)	Udává se pouze u svahových deformací zobrazených v mapě jako polygon. U bodových sesuvů, tedy menších rozměrů není plocha dopočítána.
XII	Svahová deformace dle hloubky porušení / postižení	Na základě odhadnuté svislé vzdálenosti mezi povrchem a bází S.D.: - mělká (1-5 m)
XIII	Sklon svahu	Průměrný sklon původního neporušeného svahu
XIV	Aktivní faktory vzniku	Za aktivní faktory vzniku jsou považovány ty, které spustí vznik svahového pohybu, jsou přímou příčinou - tzv. „trigger“: - srážky a nasycení vodou
XV	Složení akumulace /litologie/	Slepence myslejovického souvrství
XVI	Fáze vývoje - prognóza	- iniciální (k hlavnímu pohybu teprve dojde) - rozvinutá
XVII	Stupeň aktivity	Podle stupně aktivity lze rozlišit svahové deformace: - Aktivní (k pohybu došlo během posledního roku - pěti let od rekognoskace)
XVIII	Sanační opatření	-
XIX	Využití území	Silnice, les
XX	Ohrožené objekty	silnice
XXI	Stupeň nebezpečí	II.
XXII	Poznámky, doporučení	Dne 21. června 2013 byla provedena Mgr. Alešem Havlínem, PhD., terénní rekognoskace plošného sesuvu nad silnicí spojující Račice a Říčky. Akumulační val sesuvu zasáhl do poloviny jízdní dráhy výše uvedené silnice. Lokalita byla zdokumentována a jako nová svahová deformace bude zařazena do Registru svahových nestabilit ČGS s příčinnou pasportizací Shrnutí: Jedná se o sesuv o délce cca 20 m a šířce cca 20 m. Akumulační val sesuvu přehradil polovinu silnice a v době rekognoskace byla omezena průjezdnost silnice. Výška akumulčního valu je 1,5 až 3 m. Smyková plocha je rovná. Výška odlučné hrany je cca 1 m. Povrch sesuvu je suchý. Zájmové území je podle geologické mapy

		<p>1 : 50 000 list Vyškov tvořeno deluviálními sedimenty vyvinutými na slepících myslějovického souvství. Ke vzniku svahové nestability došlo nepochybně v důsledku zvýšeného srážkového úhrnu koncem měsíce května a počátkem měsíce června, kdy došlo vlivem nasycení deluviálních sedimentů vodou ke snížení stability svahu. Nicméně nelze vyloučit rozšíření sesuvu západním, nebo východním směrem a to především při zvýšeném srážkovém úhrnu nebo při jarním tání sněhové pokrývky.</p> <p>Doporučení: Je třeba obnovit průjezdnost silnice odtěžením akumulčního valu a vyčistit příkop podél silnice. Stávající svah v místě sesuvu již nemá potenciál k reaktivaci sesuvných pohybů. V současné době nejsou technická sanační opatření v tomto prostoru nutná.</p>
XXIII	Fotodokumentace	příložena
XXIV	Rešerše, literatura	<p>Databázový záznam Výzkumného ústavu meliorací a ochrany půdy, v.v.i., Oddělení půdní služba, Laboratoř SOWAC GIS Praha http://80.188.198.212/mapserv/monitor/udalost_detail.php?gid=263</p>



Foto 24: Celkový pohled na sesuv



Foto 25: Zúžení silnice akumulčním valem



Foto 26: Detail odlučné hrany sesuvu

6 - Jihomoravský kraj, Bořitov

I	Číslo svahové deformace	-
II	Číslo mapového listu	24-14-20
III	Katastrální území	Bořitov
IV	Lokalizace GPS	-595 881,805 -1 135 963,525
V	Autor a instituce	Mgr. Aleš Havlín PhD., ČGS
VI	Datum rekognoskace	6/2013
VII	Svahová deformace	- Samostatná
VIII	Druh svahové deformace	Klasifikace tělesa deformace dle mechanismu pohybu: - Sesuv
IX	Délka (m)	40
X	Šířka (m)	10
XI	Plocha (m²)	-
XII	Svahová deformace dle hloubky porušení / postižení	Na základě odhadnuté svislé vzdálenosti mezi povrchem a bází S.D.: - mělká (1-5 m)
XIII	Sklon svahu	-
XIV	Aktivní faktory vzniku	Za aktivní faktory vzniku jsou považovány ty, které spustí vznik svahového pohybu, jsou přímou příčinou - tzv. „trigger“: - srážky a nasycení vodou
XV	Složení akumulace /litologie/	Litologické složení akumulace je odvozeno ze základní geologické mapy v M 1:50 000
XVI	Fáze vývoje - prognóza	Dle kinematiky dané S.D. lze odhadnout, zda se nachází ve fázi pohybu: - rozvinutá
XVII	Stupeň aktivity	Podle stupně aktivity lze rozlišit svahové deformace: - Aktivní (k pohybu došlo během posledního roku - pěti let od rekognoskace)
XVIII	Sanační opatření	-
XIX	Využití území	louka
XX	Ohrožené objekty	-
XXI	Stupeň nebezpečí	I.
XXII	Poznámky, doporučení	Dne 21. 6. 2013 byla provedena Mgr. Alešem Havlínem, PhD., terénní rekognoskace území. Bylo zjištěno, že se jedná o sesuv na terasovitém svahu. Lokalita byla zdokumentována a jako nová svahová deformace bude zařazena do Registru svahových nestabilit ČGS s patřičnou pasportizací Svahová deformace je patrná na leteckém snímku na serveru www.mapy.cz a to na mapě nasnímané po roce 2006. K sesuvu došlo vlivem nasycení vodou, což zapříčinilo snížení stability svahu. Podle geologické mapy 1 : 50 000 je svah v zájmovém prostoru tvořen jílovci bělohorského souvrství. Rozměry svahové nestability podle letecké fotografie na www.mapy.cz jsou délka je cca 40 m šířka

		dosahuje cca 10 m. V době rekognoskace byl sesuv vykázal zhruba poloviční rozměry, což je způsobeno tím, že sesuv vznikl před delší dobou a některé jeho tvary byly setřeny, popř. zarovnány, aby neomezovali zemědělskou činnost. Zřetelný akumulční val, rovný a suchý povrch.
XXIII	Fotodokumentace	přiložena
XXIV	Rešerše, literatura	-



Foto 27: Sesuv v Bořitově na letecké fotografii www.mapy.cz



Foto 28: Odlučná hrana sesuvu



Foto 29: Odlučná hrana sesuvu – detail

7 - Jihomoravský kraj, Mělčany u Ivančic

I	Číslo svahové deformace	-
II	Číslo mapového listu	24-34-18
III	Katastrální území	Mělčany
IV	Lokalizace GPS	[49°04.799;16°29.188] - >[-1172519.88; -608363.45]
V	Autor a instituce	Mgr. Aleš Havlín, PhD., ČGS
VI	Datum rekognoskace	7/2013
VII	Svahová deformace	- Samostatná
VIII	Druh svahové deformace	Klasifikace tělesa deformace dle mechanismu pohybu: - Sesuv
IX	Délka (m)	2,5
X	Šířka (m)	30
XI	Plocha (m ²)	-
XII	Svahová deformace dle hloubky porušení / postižení	Na základě odhadnuté svislé vzdálenosti mezi povrchem a bází S.D.: - mělká (1-5 m)
XIII	Sklon svahu	-
XIV	Aktivní faktory vzniku	Za aktivní faktory vzniku jsou považovány ty, které spustí vznik svahového pohybu, jsou přímou příčinou - tzv. „trigger“: - srážky a nasycení vodou
XV	Složení akumulace /litologie/	Spraš, sprašová hlína a fluviální sedimenty
XVI	Fáze vývoje - prognóza	Dle kinematiky dané S.D. lze odhadnout, zda se nachází ve fázi pohybu: - rozvinutá
XVII	Stupeň aktivity	Podle stupně aktivity lze rozlišit svahové deformace: - Aktivní (k pohybu došlo během posledního roku - pěti let od rekognoskace)
XVIII	Sanační opatření	Opěrná zeď ze ztraceného bednění
XIX	Využití území	Travnatý svah
XX	Ohrožené objekty	Hroby, obvodová zeď hřbitova
XXI	Stupeň nebezpečí	I.
XXII	Poznámky, doporučení	Dne 1. 7. 2013 byla provedena Mgr. Alešem Havlínem, PhD., terénní rekognoskace území. Bylo zjištěno, že došlo k sesuvu svahu se hřbitovní zdí v obci Mělčany. Lokalita byla zdokumentována a jako nová svahová deformace bude zařazena do Registru svahových nestabilit ČGS s patřičnou pasportizací Ke vzniku svahové nestability došlo nepochybně v důsledku zvýšeného srážkového úhrnu koncem měsíce května a počátkem měsíce června, kdy vlivem nasycení svahu vodou byla snížena jeho stabilita. Podle ústního sdělení místního občana došlo k sesuvu svahu a k poničení obvodové zdi hřbitova již v minulosti. Obec proto přistoupila k opravě

		hřbitovní zdi. Při zahájení výkopových prací, v období zvýšených srážkových úhrnů, došlo k sesutí svahu, pádu obvodové zdi, poničení hrobů a odhalení lidských ostatků. Podle geologické mapy 1 : 50 000 je svah tvořen spraší, popř. sprašovou hlínou, do spodní části svahu zasahují fluviální sedimenty. Délka svahové nestability je cca 2,5 m šířka dosahuje cca 30 m. Po události bylo pokračováno v zahájených stavebních pracích.
XXIII	Fotodokumentace	přiložena
XXIV	Rešerše, literatura	http://www.blesk.cz/clanek/zpravy-udalosti/200926/sesuv-zdi-u-hrbitova-v-melcanech-podmacena-zem-nevydrzela-ze-svahu-couhaly-i-kosti.html



Foto 30: Celkový pohled na odlučnou část sesuvu



Foto 31: Materiál sesuvu se zbytky obvodové zdi



Foto 32: Nově budovaná opěrná zeď

8 - Jihomoravský kraj, Brno – Bystrc, ZOO

I	Číslo svahové deformace	-
II	Číslo mapového listu	24-32-19
III	Katastrální území	Brno
IV	Lokalizace GPS	[49°14.080;16°31.846] - >[-1155772.35; -603280.22]
V	Autor a instituce	Mgr. Aleš Havlín, PhD., ČGS
VI	Datum rekognoskace	6/20103
VII	Svahová deformace	- Samostatná
VIII	Druh svahové deformace	Klasifikace tělesa deformace dle mechanismu pohybu: - sesuv
IX	Délka (m)	6
X	Šířka (m)	35
XI	Plocha (m ²)	-
XII	Svahová deformace dle hloubky porušení / postižení	Na základě odhadnuté svislé vzdálenosti mezi povrchem a bází S.D.: - mělká (1-5 m)
XIII	Sklon svahu	-
XIV	Aktivní faktory vzniku	Za aktivní faktory vzniku jsou považovány ty, které spustí vznik svahového pohybu, jsou přímou příčinou - tzv. „trigger“: - srážky a nasycení vodou
XV	Složení akumulace /litologie/	biotit-amfibolický granodiorit
XVI	Fáze vývoje - prognóza	Dle kinematiky dané S.D. lze odhadnout, zda se nachází ve fázi pohybu: - rozvinutá
XVII	Stupeň aktivity	Podle stupně aktivity lze rozlišit svahové deformace: - Aktivní (k pohybu došlo během posledního roku - pěti let od rekognoskace)
XVIII	Sanační opatření	Zda a jaké byly provedeny sanační opatření k zastavení / omezení pohybu
XIX	Využití území	Voliéra Orla východního
XX	Ohrožené objekty	Voliéra Orla východního
XXI	Stupeň nebezpečí	II.
XXII	Poznámky, doporučení	Dne 24. června 2013 byla provedena Mgr. Alešem Havlínem, PhD., terénní rekognoskace území. Bylo zjištěno, že se jedná o sesuv, který poškodil voliéru Orla východního. Lokalita byla zdokumentována a jako nová svahová deformace bude zařazena do Registru svahových nestabilit ČGS s patřičnou pasportizací. Ke vzniku svahové nestability došlo nepochybně v důsledku zvýšeného srážkového úhrnu koncem měsíce května a počátkem měsíce června, kdy došlo vlivem nasycení vodou ke snížení stability svahu. Dalším faktorem, který přispěl ke vzniku sesuvu je rozvětrání a tektonické porušení skalního

		podloží. Podle geologické mapy 1 : 50 000 je svah tvořen biotit-amfibolickým granodioritem. Délka nově vzniklé svahové nestability je cca 6 m šířka dosahuje cca 20 m. Výrazný akumulční val o výšce až 1,5 m. Akumulční val prorazil částečně drátěné pletivo. Celková velikost území které je evidentně postiženo sesouvání z kolmého antropogenního zářezu o výšce až 4 je 35 m. Vzhledem k geologickým podmínkám panujícím v zájmovém prostoru nelze vyloučit vznik dalších podobných událostí. Řešením by byla výstavba opěrné zdi, která by zabránila uvolňování zvětralého a tektonicky porušeného granodioritu a deluviálních sedimentů.
XXIII	Fotodokumentace	Přiložena
XXIV	Rešerše, literatura	-



Foto 33: Akumulční val sesuvu



Foto 34: Odlučná hrana sesuvu



Foto 35: Prostor v zadní části voliéry, kde drátěné pletivo zadrželo sesutý materiál

9 - Jihomoravský kraj, Znojmo

I	Číslo svahové deformace	-
II	Číslo mapového listu	34-13-01
III	Katastrální území	Znojmo
IV	Lokalizace GPS	-643011,957 , -1194248,038
V	Autor a instituce	Mgr. Aleš Havlín, PhD., Česká geologická služba
VI	Datum rekognoskace	6/2013
VII	Svahová deformace	- Samostatná
VIII	Druh svahové deformace	Klasifikace tělesa deformace dle mechanismu pohybu: - Forma odsedání a řícení
IX	Délka (m)	8
X	Šířka (m)	8
XI	Plocha (m ²)	-
XII	Svahová deformace dle hloubky porušení / postižení	Na základě odhadnuté svislé vzdálenosti mezi povrchem a bází S.D.: - mělká (1-5 m)
XIII	Sklon svahu	-
XIV	Aktivní faktory vzniku	Za aktivní faktory vzniku jsou považovány ty, které spustí vznik svahového pohybu, jsou přímou příčinou - tzv. „trigger“: - srážky a nasycení vodou
XV	Složení akumulace /litologie/	Biotitický granodiorit
XVI	Fáze vývoje - prognóza	Dle kinematiky dané S.D. lze odhadnout, zda se nachází ve fázi pohybu:- rozvinutá
XVII	Stupeň aktivity	Podle stupně aktivity lze rozlišit svahové deformace: - Aktivní (k pohybu došlo během posledního roku - pěti let od rekognoskace)
XVIII	Sanační opatření	-
XIX	Využití území	Rodinný dům, dvorek obytného domu
XX	Ohrožené objekty	Rodinný dům, dvorek obytného domu
XXI	Stupeň nebezpečí	III.
XXII	Poznámky, doporučení	Ke vzniku svahové nestability došlo nepochybně v důsledku zvýšeného srážkového úhrnu koncem měsíce května a počátkem měsíce června, kdy vlivem nasycení svahu byla snížena jeho stabilita. Dalším faktorem, který přispěl k pádu skalních bloků je rozvětrání a tektonické porušení skalního podloží. Podle geologické mapy 1 : 50 000 je svah tvořen biotitickým granodioritem. Délka svahové nestability je cca 8 m šířka dosahuje cca 8 m. Výrazný akumulační val o výšce až 1 m se zastavil o zeď obytného rodinného domu a omezil přístup do nemovitostí. Dále došlo k pádu části stávající opěrné zdi. Po odstranění akumulačního valu bude vhodné vybudovat řádně odvodněnou opěrnou zeď, aby se předešlo opakování události.
XXIII	Fotodokumentace	příložená
XXIV	Rešerše, literatura	-



Foto 36: Odlučná hrana skalního říční



Foto 37: Provizorní zabezpečení opěrné zdi